

دراسة عدديّة لتأثير زاوية الميل على انتقال الحرارة بالحمل الحر داخل مغلف مربع مائل مع معرض مربع مركزي

كاظم عودة جحف
قسم المكان والمعدات
معهد تكنولوجيا
الجامعة التقنية الوسطى - بغداد

الخلاصة :-

يتضمن البحث الحالي اجراء دراسة عدديّة ثنائية بعد للحالة الانضغاطية لمسألة انتقال الحرارة بالحمل الحر داخل مغلف مربع بنسبة باعية تساوي (A=1) لحالتين مع وبدون معرض مربع مركزي وزوايا متعددة حيث تم حفظ الجدار الافقى الاسفل بدرجة حرارة ثابتة تبلغ 350 كلفن) اما الجدار الافقى الاعلى فقد ترك باردا عند درجة حرارة (300 كلفن) وتم امالة التجويف لعدة زوايا مع الافق تشمل (0°, 30°, 45°, 60°, 75°, 90°) اما الجدران العمودية للمغلف فقد تركت معزولة. تم تحويلي المعادلات الحاكمة من الصيغة التفاضلية العقدة الى الصيغة الجبرية باستخدام طريقة الفروق المحددة كذلك تم حل المعادلات باستخدام (طريقة كرانك- نكسون). تم اعتماد نتائج البحث الحالي بالمقارنة مع نتائج البحوث السابقة وبنسبة توافق جيدة. وايضا تم دراسة تأثير كلا من وجود مغلف مربعة في مركز المغلف وزوايا الميل مع الافق على كل من شكل الجريان وانتقال الحرارة وتم اعتبار عدد براندل ثابت عند قيمة ($pr=0.781$) ورقم رالي يتراوح بين ($5 \times 10^4 \leq Ra \leq 3.5 \times 10^5$) بين النتائج التي قدمت بدلالة دالة الانسياب وانحدار درجات الحرارة اللابعدين ان عدد نسلت الكلي يزداد مع زيادة كل من زاوية الميلان وعدد رالي، بينما يتم الحصول على اقصى انتقال للحرارة عندما يكون السطح الساخن عموديا عند الزاوية 90 درجة وذلك بسبب ازلاق دوامات الحمل الحر بانحدار اكبر. وتبيّن ان عدد نسلت يزداد بنسبة (8.2%) عند زيادة الزاوية من 0 الى 30 درجة ويزداد بنسبة (25%) عند زيادة زاوية ميل المغلف من 30 الى 90 درجة.

التبريد بواسطة الحمل الحر وعدم الاعتماد على مصادر اخرى مستهلكة للطاقة مثل المراوح وسائل التبريد المكلفة. من ذلك جاءت اهمية البحث الحالي واهتمام الباحثين بهذا المجال بواسطة البحوث العملية والنظرية [7] ان ظاهرة انتقال الحرارة والجريان الناتج من الطفو وقوى القص داخل المخلفات والفحوجات بانواعها وشكالها المختلفة تم دراستها بشكل وافي من خلال عدة بباحثين خلال السنوات الاخيرة، حيث ان فهم ميكانيكية هذه القوى له اهمية كبيرة في الدراسات النظرية والعملية القديمة والحديثة منها [7],[4],[6],[14] من الدراسات النظرية التي تناولت الموضوع الحالي ما قام به الباحثان [8] حيث قاما بدراسة عدديّة لنظام ثانوي البعض لمائع لانضغاطي لدراسة مسألة

1- المقدمة :

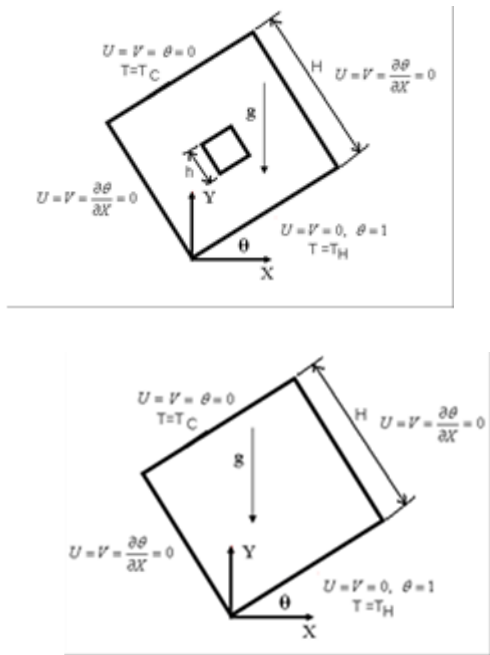
الجريان داخل الفجوات المغلقة بواسطة قوى الطفو تعتبر مسألة رئيسية في علوم حركة المائع. حيث هذا النوع من الحركة يمكن ان نجد في العديد من التطبيقات الهندسية مثلاً في تقنيات تبريد الالكترونيات الحديثة، وايضاً في تهوية سقوف المبني وايضاً في المجتمعات الشمسية ومعدات التبريد المختلفة. وتعتبر حالة اندفاع المائع بواسطة السطوح الساخنة داخل التجاويف المغلقة من اكثر الحالات شيوعاً في الجانب العملي والتطبيقي لانتقال الحرارة. من جانب اخر فإن الالواح الالكترونية المستخدمة بشكل واسع في الاجهزه الالكترونية الحديثة ذات توليد حراري كثيف حيث توضع بشكل عمودي داخل صندوق الجهاز ولذلك تم الاعتماد على

بقيا معزولاً تماماً أما السطوح العمودي فتتسم بالرؤيا من خلالها وكان اختلاف درجات الحرارة بين السطحين ما يقارب درجة مئوية $T_{max} - T_{min} = 60$ مع درجة حرارة المحيط. وأيضاً فإن هناك العديد من الدراسات التي تخص موضوع العمل الحر للقنوات والمغلفات من مثل دراسة [15] الذي قام بدراسة عددية لغلف مربع ثقلي الإبعاد مع جدران منتظمة الحرارة واستخدمت نتائجه كمصدر أساس لاعطاء الموثوقية للبحوث المحاكاتية الجديدة.

ومثال آخر [3] الذي قام بدراسة عددية لغلف مربع ثقلي الإبعاد أيضاً ولكن مع استخدام مصدر حراري منتظم على الجدار العمودي ودرجة حرارة منتظمة على الجدار الآخر للخزان أما الجدران الأفقية فقد تم حفظهما معزولين اديبياتياً حيث كان الغلف بدخله هواء مع رقم برانتيل $pr=0.7$ وقد أخذ نسبة باعية للعمق تساوي من 1 إلى 20 وبمدى رقم رالي من 10^6 إلى 10^3 . أما الدراسات التي غطت تأثير تغيير الزاوية على شكل العمل الحر داخل المغلفات فمنها ما قدمه [12] من دراسة عددية للحمل الطباقي الحر داخل مربع مغلف ومائل بزاوية مختلفة تتدنى من 0 إلى 180 درجة وقد بيّنت نتائجه أن إشكالاً معقدة لجريان المائع وانتقال الحرارة بواسطة Nu للجدار منظم الحرارة وكان الميل الأكبر 90 درجة يؤثر بصورة واضحة على شكل الجريان وكلما اقترب الميل من الزاوية 180 درجة والميل الأقل من 20 درجة بحدود 17 درجة تقريباً وأقل يظهر بعض التناقض لنموذج الجريان. وهناك دراسة كمية واتجاهية للباحثين [5] تضمنت استقصاء العمل الحر الطباقي داخل خزان ثقلي بعد بإشكال هندسية متغيرة وزوايا مختلفة ضمن المدى من 0 إلى 180 درجة. وكانت نتائجهما تبين أن زاوية الدوران أقل من 20 درجة تعطي نتائج غير مستقرة أما شكل الجريان بين 20 إلى 180 درجة كان تقريباً مستقراً وواضحاً بأنه بزيادة زاوية الدوران تزداد ميكانيكية انتشار المائع داخل الخزان. وبالوصول إلى الزاوية 180 درجة حيث يكون انتشار كامل للمائع وتكون أقوى حالة شدة انتقال حراري للمائع عند الزاوية 70 إلى 80 درجة. وأيضاً لوحظ أن زيادة رقم رالي تؤدي إلى زيادة رقم نسلت ويكون أعلى قيمة لنسلت عند أعلى الجدار اعتماداً على زاوية الدوران. وقد قام الباحثون [17] باستخدام نظام عددي للحمل الحر المستقر داخل خزان مربع مائل لزوايا

جريان المائع لحالة انتقال الحرارة بالحمل الحر داخل مغلف مربعة مع استخدام شرط التوصيل الحراري الامثل عبر الجدار الأعلى والأسفل وباستعمال طريقة بولتزمان-لاتكس الابعدية مع استخدام تحليل شبكي منتظم وتم تغيير زاوية الميل من 20 إلى 80 درجة واظهرت نتائجهما المعطاة بشكل رسوم لدرجات الحرارة ودالة الانسياب. ان هيكل الجريان يعتمد اعتماداً كاملاً على زاوية الميل حيث ان هناك دراسة قدمت من قبل [11] لتقدير انتقال الحرارة بالحمل الحر الطباقي داخل مغلف مربع. ويضم مصدر حراري مستمر وضع في مركز أحد الجدران العمودية ومزود بدائرة كهربائية متكاملة مستمرة وباستخدام طريقة Marker (and Cell MAC) تم حل الموديل ثنائي البعدين للمعادلات الحكومية التي تضم التغيرات العامة من الضغط والسرعة ودرجات الحرارة. والحسابات اخذت لرقم برانتيل يساوي $Ra = 0.72$ ، ولنسبة باعية $(A=1)$ ولقيم رالي تساوي 10^6 ، ولنسبة $E \leq 0.25$ المتمثلة بمصدر الحرارة بالنسبة إلى الارتفاع الكلي $(E \leq 1.0)$ واظهرت النتائج ان العلاقة بين Nu و Ra تعتمد على تأثير التغير في الانتقالية الحرارية. أما الباحثان [2] فلما دراسة عددية ثنائية البعد لجريان المائع الحراري تحت وبواسطة قوى الطفو داخل خزان عندما يكون جانباً بدرجات حرارة مختلفة عند الزوايا 40 إلى 60 درجة وبرقم رالي من 10^6 إلى 4000 ورقم برانتيل من 0.02 إلى 0.025 واوضحت نتائجهما ان معدل انتقال الحرارة عند السطح الحار يعتمد كلية على زاوية الميل. و يصل هذا الاعتماد إلى اشده عند الزاويه 90 درجة. وأيضاً فإن الباحث [3] قد قام بدراسة نظرية وعملية للحمل الحر داخل خزان مستطيل مع نسب باعية صغيرة واستقصاء استقرارية الجريان بداخله. أما الباحث [18] توصل إلى تحليل عددي باستخدام طريقة الفروق المحددة لانتقال الحرارة بالحمل الحر لاربعة انواع من المغلفات المستطيلة لزوايا من 0 إلى 180 درجة.

ان تأثيرات وتدخلات الحمل الحر بدون تأثير الاشعاع درست من قبل الباحث [1] والذي استعمل سائل النتروجين بدرجة حرارة 77 كلفن في تجاربه التي ادت إلى حساب انتقال الحرارة بالحمل الحر حول اسطوانة برونزية داخل خزان وأيضاً ما قام به الباحث [13] من دراسة الحمل الحر داخل خزان مستطيل $(60 \times 50 \times 150)$ ملم مع جدران منتظمان الحرارة وبدرجات حرارة مختلفة والسطح الأعلى والأسفل



الشكل (١) مخطط توضيحي للمغلفة الربعة مع الشروط الحدية للمسألة فيid الدراسة مع وبدون معترض مربع مركري.

الجدران العمودية تم فرضها غير نافذة للحرارة بينما الجدران الافقية تكون عنده درجات حرارة ثابتة لكن مختلفة بحيث ان درجة حرارة الجدار الاسفل هي (T_h) ودرجة حرارة جدار العلو (T_c) في كل الاحوال فان (T_c) > T_h تم تعريف التحليل ثنائياً بعد للمغلف المربع مع جسم اديباتي مربع في مركزها. وتم قياس زاوية الميل من السطح الافقى مع الجدار الحار للمغلف. ارتفاع المغلف H وارتفاع المفترض المركزي h عندما يكون y=0 يكون الجدار ساخن وبدرجة حرارة منتظمة T_h اما عندما يكون y = H تكون درجة الحرارة T_c واختلاف درجات الحرارة هي ($\Delta T = T_h - T_c$) وبقية الحدود للمغلف تكون معزولة x=0, (T_c) = 0 وتم تعريف نسبة الارتفاع الى العرض بالنسبة الاباعية التي تكون A = 1 لأن المغلف مربع. وايضا فرض رقم برانتل يساوي 0.781 (المغلف مملؤ بالهواء) واعتبر الجريان طباقي واما بقية الخواص الفيزيائية للمائع فرضت ثابتة مثل اللزوجة الديناميكية، الموصولة الحرارية، الحرارة النوعية للهواء عند الضغط

و 30 درجة وكان الخزان مسخن من جهة ومبرد من جهة اخرى واكبت نتائجهم ان زاوية الميل تؤثر على شكل الجريان في الحالة الشبه مستقرة خلال الزمن المحدد للحسابات. اما الدراسات التي تناولت العمل الحر داخل خزان بوجود جسم اما كمصدر للحرارة او غير مصدر للحرارة فعنها ما قام به الباحث [12] حيث قدم بحثاً في تاثير النسبة الباعية على انتقال الحرارة بالحمل الحر المتولد من صفيحة مسخنة عمودية في خزان مستطيل بدرجة حرارة اوطن من الصفيحة ذو جدران معززه تماماً. وقد حل المعادلات الحكومية بواسطة طريقة الفروق المحددة وقد اظهرت نتائجه ان معدل انتقال الحرارة يزداد مع زيادة نسبة الشكل .

من خلال استعراض البحوث السابقة يمكن ان نلاحظ ان
البحوث في هذا المجال يمكن ان تصنف الى ثلاثة اقسام منها ما
يشمل دراسة الحمل الحر داخل المغلفات الفارغة وبشروط
حديمة مختلفة ولكن بدون تغيير الميلان ومنها ما يدرس تاثير
الميلان عليها ومنها ما يقوم بتغيير نسبة الشكل اما النوع
الآخر من هذه المسألة فهو ما يقوم بدراسة وجود اجسام مثلا
الصفائح باشكال مختلفة داخل المغلفات ويزوايا مختلفة ايضا
ولكن لم نلاحظ خلال مراجعتنا للبحوث ان هناك بحثا
يتناول مسألة وجود شكل معترض مربع مثلا داخل المغلف
ودراسة تاثير تغيير زويا الميلان على الحمل الحر بداخله.
لذلك فأن الهدف الاساسي من البحث الحالي هو دراسة انتقال
كل من الطاقة والزخم في مغلف بجدار عمودي يارد واحر
مسخن. تم تمثيل النتائج بخطوط تساوي دالة الانسياب
ودرجة الحرارة وبالاعتماد على متغيرات لا بعدية ذات صلة
 بالموضوع وهي عدد نسلت ورالي واخيرا تم الحصول على
التدفق الحراري الموضعي وعدد نسلت الكلي.

2- التحليل الرياضي والحل العددي (Theoretical Analysis and Numerical Solution)

الشكل (١) يبين النظام الفيزيائي المستخدم في البحث الحالي والذي يصف مغلق مربعة ثنائية البعد ذات جدار جانبی بارتفاع قيمته (H).

اعلاه المعادلات 4-1 تعتبر منظومة معادلات تفاضلية تمثل العمل الحر الثنائي بعد للكتلة والزخم والطاقة. من الجدير بالذكر بأن المعادلات الحاكمة اعلاه مكونه من خليط من معادلات قطع ناقص ومكافئ (Elliptic & Parabolic) والتي يتم حلها آنبا بالاعتماد على طريقة التغيرات الأساسية (Primitive Variables). وان تعريف المسألة الحالية يتم من خلال تطبيق الشروط الحدية والتي يمكن تلخيصها بالمعادلات التالية:

$$\begin{aligned} U = V = 0, \quad \phi = 1 &\quad \text{at} \quad Y = 0, \quad 0 < X < 1 \\ U = V = 0, \quad \phi = 0 &\quad \text{at} \quad Y = 1, \quad 0 < X < 1 \\ U = V = 0, \quad \frac{\partial \phi}{\partial X} = 0 &\quad \text{at} \quad X = 0, \quad 0 \leq Y \leq 1 \\ U = V = 0, \quad \frac{\partial \phi}{\partial X} = 0 &\quad \text{at} \quad X = 1, \quad 0 \leq Y \leq 1 \end{aligned}$$

يمكن حذف جزء المعادلة الخاص بالضغط P بواسطة طرح المعادلتين الخاصة بالزخم (2) و(3) والحصول على المعادلة التالية بعد التبسيط [20] :

$$u \frac{\partial \omega}{\partial x} + v \frac{\partial \omega}{\partial y} = v \left(\frac{\partial^2 \omega}{\partial x^2} + \frac{\partial^2 \omega}{\partial y^2} \right) - \beta g \frac{\partial T}{\partial y} \quad (5)$$

حيث يمكن تعريف ω كما يلى:

$$\omega = \frac{\partial v}{\partial x} - \frac{\partial u}{\partial y} \quad (6)$$

ومن اجل ادخال دالة الانساب الى المعادلات الحاكمة من اجل امكانية الحل الرياضي نطبق المعادلات التالية:

$$u = \frac{\partial \psi}{\partial y}, \quad v = -\frac{\partial \psi}{\partial x}$$

وبذلك يمكن كتابة معادلة الاستمرارية (1) بدلالة دالة الانسياب بالشكل التالي:

$$\omega = - \left(\frac{\partial^2 \psi}{\partial x^2} - \frac{\partial^2 \psi}{\partial y^2} \right) \quad (7)$$

وباستخدام المعادلات الحاكمة تم تحويلها الى شكلها الابعدى بالاعتماد على التغيرات الابعدية التالية:

$$X = \frac{x}{H}, \quad Y = \frac{y}{H}, \quad U = \frac{uH}{u}, \quad V = \frac{vH}{v}, \quad \theta = \frac{T - T_c}{T_h - T_c}, \quad P = PL^2 / \rho v^2$$

$$(8)$$

الثابت ودرجة الحرارة المتوسطة T_0 . جميع درجات الحرارة قليلة الشدة ولذلك يمكن اهمال الاشعاع الحراري وبوجود فرق درجات حرارة واطئة يمكن استخدام تقريب المائع تم فرضه خاص لقانون نيوتن للزوجة وغير انضغاطي وبحريان طباقى في منطقة العمل الحر. خواص المائع ثابتة ما عدا تغير الكثافة والذي عموماً بالاعتماد على تقريب بوسينيك، بينما تأثير الخسائر الناتجة من الزوجة مهملاً. البريان اللرج الغير انضغاطي وتوزيع درجة الحرارة داخل الملف يوصى بمعادلات نافير-ستوك ومعادلة الطاقة للحالة المستقرة على التوالى [13]. ولكن لجزء المعادلة الخاص بالطاقة يمكن ان يكون تغيراً خطياً بالعلاقة التالية

$$\rho(T) = \rho(T_0) - \beta \rho(T_0)(T - T_0)$$

حيث ان (β) معامل التمدد الحجمي لدرجة الحرارة.

$$T_0$$

يمكن وصف النموذج الفيزيائى على اساس النموذج الرياضي بعبارة اخرى المعادلات التفاضلية التي تصف الظاهرة قيد الدراسة بواسطة المعادلات التالية:

معادلة الاستمرارية

$$u \frac{\partial u}{\partial x} + v \frac{\partial v}{\partial y} = 0 \quad (1)$$

اما الاستقصاء العددي للحمل الحر الطباقى في مغلق مربع مائل يمكن اعطاءه بالمعادلة الحاكمة للحالة المستقرة كالتالي: [12]

معادلة الزخم باتجاه X

$$u \frac{\partial u}{\partial x} + v \frac{\partial u}{\partial y} = - \frac{1}{\rho} \frac{\partial p}{\partial x} + v \left(\frac{\partial^2 u}{\partial x^2} + \frac{\partial^2 u}{\partial y^2} \right) - \beta g_x (T - T_0) \cos \theta$$

$$(2)$$

معادلة الزخم باتجاه y

$$u \frac{\partial v}{\partial x} + v \frac{\partial v}{\partial y} = - \frac{1}{\rho} \frac{\partial P}{\partial y} + v \left(\frac{\partial^2 v}{\partial x^2} + \frac{\partial^2 v}{\partial y^2} \right) - \beta g_y (T - T_0) \sin \theta$$

$$(3)$$

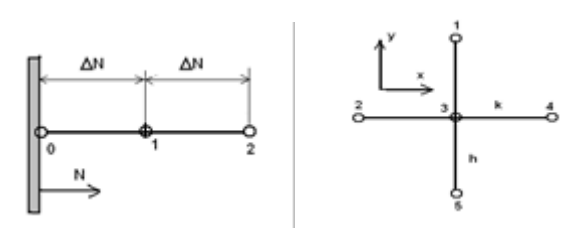
معادلة الطاقة

$$u \frac{\partial T}{\partial x} + v \frac{\partial T}{\partial y} = \alpha \left(\frac{\partial^2 T}{\partial x^2} + \frac{\partial^2 T}{\partial y^2} \right)$$

$$(4)$$

المحددة لمعادلات الزخم (9 و 10) للنقاط الداخلية
للمغلق المربع كما مبين في الشكل (2):

$$\frac{1}{2} \left[\frac{l_3}{h^2} (f_1 - 2f_3 + f_5) - \frac{q_3}{k^2} (f_1 - 2f_3 + f_5) + \frac{r_2}{2k} (f_1 - f_5) + \frac{s_3}{2k} (f_4 - f_2) \right] = 0 \quad (13)$$



شكل (2) يوضح العقد الداخلية والعقد المجاورة للجدار

اما تمثيل معادلة الطاقة (11) بصيغة الفروق المحددة
فهي كالتالي:

$$\left[\frac{l_5}{h^2} (\Psi_1 - 2\Psi_3 + \Psi_5) - \frac{q_8}{k^2} (\Psi_1 - 2\Psi_3 + \Psi_5) + \frac{r_8}{2h} (\Psi_1 - \Psi_5) + \frac{s_8}{2k} (\Psi_4 - \Psi_2) \right] = 0 \quad (14)$$

بواسطة التحليل والتتمثيل الرياضي للمعادلات السابقة
يمكن تمثيل رقم نسلت بالشكل التالي:

$$Nu_L = \frac{L}{(T_H - T_C)} \frac{\partial T}{\partial y} \Big|_{y=0} = -Y' \left(\frac{\partial \phi}{\partial y} \right)_o \quad (15)$$

ولاحظ اكمال احتساب رقم نسلت تحتاج لدرجات حرارة
ثابتة للجدار للحالة المستقرة:

$$\frac{\partial^2 \phi}{\partial y^2} \Big|_{y=0} = \frac{\partial \phi}{\partial y} \Big|_{y=0} = V_o \frac{\partial \phi}{\partial \tau} = 0$$

واخيراً فان الاشتتاق يؤدي الى الحصول على القيمة
المتوسطة لرقم نسلت باستخدام قاعدة سمبسون
للتعويض في المعادلة (15)

$$\frac{\partial \phi}{\partial X} \Big|_o = \frac{-1\phi_0 + 8\phi_1 - \phi_2}{6}$$

يتضمن الحل العددي في البحث العالي معتمداً على
طريقة كلارك-نكلسون باستخدام طريقة الفروق
المحددة وفي هذه الطريقة يكون تقسيم المجال الفيزيائي
المتمثل بالحالتين للمغلق مع او بدون الربيع الركيزي الى
شبكة من النقاط المحددة ومن ثم يتم تحويل المعادلات

حيث ان X, Y يمثلان الاحداثيات في النظام التحويلي
الابعدي، اما بقية المتغيرات الابعدية من (Ω, Ψ, Θ)
تقديم كما يلي:

فمثلاً للمتغير Θ نستخدم المعادلة التالية:

$$(X')^2 \frac{\partial^2 \phi}{\partial X^2} + (Y')^2 \frac{\partial^2 \phi}{\partial Y^2} + (X'')^2 - \text{Pr} X' U \frac{\partial \phi}{\partial X^2} + (Y' - \text{Pr} Y' V) \frac{\partial \phi}{\partial Y} = 0 \quad (9)$$

وللمتغير Ω نستخدم المعادلة التالية:

$$G_L Y' \frac{\partial \phi}{\partial Y} = (X')^2 \frac{\partial^2 \Omega}{\partial X^2} + (Y')^2 \frac{\partial^2 \Omega}{\partial Y^2} + (X' - X' U) \frac{\partial \Omega}{\partial X} + (Y'' - Y' V) \frac{\partial \Omega}{\partial Y} \quad (10)$$

اما المتغير Ψ نستخدم المعادلة التالية:

$$(X')^2 \frac{\partial^2 \Psi}{\partial X^2} + (Y')^2 \frac{\partial^2 \Psi}{\partial Y^2} + X'' \frac{\partial \Psi}{\partial X} + Y'' \frac{\partial \Psi}{\partial Y} = -\Omega \quad (11)$$

حيث ان:

$$X'' = \frac{d^2 X}{d(x'/L)^2}, X' = \frac{dX}{d(x/L)} \\ Y'' = \frac{d^2 Y}{d(y'/H)^2}, Y' = \frac{dY}{d(y/H)}$$

يمكن ان نلاحظ ان المعادلات (9 الى 11) مناسبة لان
تحل بواسطة طريقة الفروق المحددة. وباستخدام
المعادلة 11 ، المعادلة 13 يمكن كتابتها

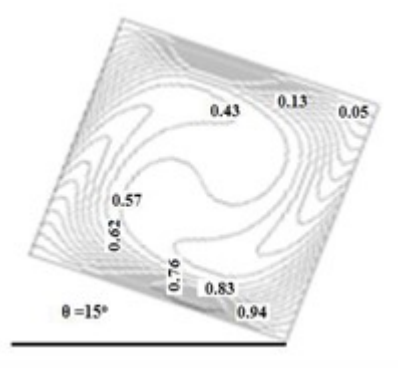
$$\frac{\partial \Psi}{\partial M} \Big|_o = \frac{\partial \Psi}{\partial N} \Big|_o = 0$$

باستخدام طريقة الفروق المحددة وباستعمال محدد
كرانك-نكلسون يمكن حل المعادلات (9, 10, 11)
بواسطة استخدام الفروق المركزية والمتقدمة ويمكن
كتابة المعادلات هذه بالصورة العامة التالية [20]:

$$l \frac{\partial^2 f}{\partial X^2} + q \frac{\partial^2 f}{\partial Y^2} + r \frac{\partial f}{\partial X} + s \frac{\partial f}{\partial Y} = 0 \quad (12)$$

بحيث تمثل f كلا من $(\Omega$ او Θ او Ψ) اعتماداً على
المعادلة المستخدمة اما l, q, r, s تمثل معاملات
معتمدة ويمكن اعطاء نموذج حسابي لمعادلة الفروق

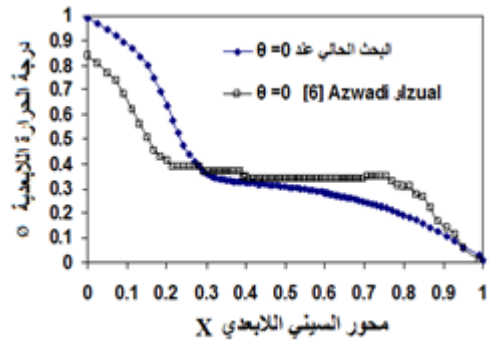
تحويل المعادلات من صيغتها التفاضلية العقدة إلى معادلات خطية بسيطة. بعد ذلك تم حل معادلات الزخم (3 إلى 4) والتي تعتبر معادلة قطع ناقص (Elliptic equation) وتسمى معادلة بوسين (Poisson equation) باستخدام طريقة الارخاء (Relaxation Scheme) حيث كانت قيمة معامل الارخاء تساوي واحد. أما بالنسبة لحل معادلة الطاقة (معادلة 5) بصيغتها الغير مستقرة يضاف حد الزمن (Time Term) والذي يمثل معياراً للاستقرار. إذ يجري التعامل مع معادلة الطاقة بصيغتها غير المستقرة على أنها معادلة قطع مكافئ (Parabolic Equation) وهذا مما يجعل امكانية استخدام الطريقة الواضحة أو الصريحة (Explicit scheme) سهلاً للغاية. حيث يتم حساب قيمة درجة الحرارة الابعدية لأي عقدة عند الزمن اعتماداً على قيمة درجة الحرارة الابعدية للعقدة ذاتها والعقد المجاورة عند الزمن. إذ يدخل الزمن عالماً مؤثراً ويعتبر بعداً ثالثاً ويتم الانتقال بين الخطوتين اللاحقتين وفقاً للتغير في ملته. باستخدام برنامج الفورتران يستمر تكرار عملية الانتقال بين قيم درجات الحرارة حتى يتم الحصول على شرط التقارب (Convergence). حيث تم التأكد من نتائج البحث الحالي من خلال مقارنة نتائج الحل العددي مع نتائج البحث الحالي عند الزاوية 15 درجة والبحث السابق [6] عند الزاوية 20 درجة تغير انحدار درجات الحرارة الابعدية عدد نسلت مع الاحداثي الافقى (X)، الشكل (3)،



درجات الحرارة المصدر [8]

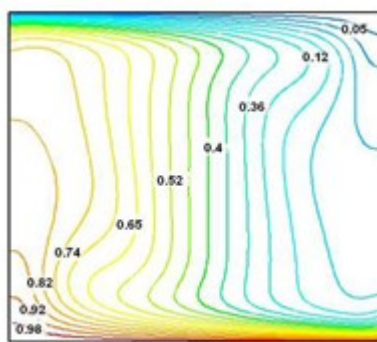
التفاضلية للحفظ الكتلة والزخم والطاقة تحول إلى نظام من المعادلات الجبرية القابلة للحل العددي . بعد ذلك تم حل المعادلات (2 إلى 5) والتي تعتبر معادلة قطع ناقص (Elliptic equation) وتسمى معادلة بوسين (Poisson equation) باستخدام طريقة الارخاء (Relaxation Scheme) حيث كانت قيمة معامل الارخاء تساوي واحد. وباستخدام الظرفوف الحدية المبينة في المعادلات اعلاه يتم تحويل المعادلات اللاخطية إلى معادلات خطية باستخدام شبكات متعددة في المجال (multi-mesh) وعدد العقد nodes كان في حدود 25250 عقدة لحالة الملف بدون مربع مركزي واستخدام عدد عقد بحدود 21350 عقدة بالنسبة للملف مع المربع المركزي باستخدام برنامج الفورتران يستمر تكرار عملية الانتقال بين قيم درجات الحرارة خطوة بخطوة حسب قيمة عامل الارتفاع (Marching factor) حتى يتم الحصول على شرط التقارب (Convergence) لهذا التكرار وذلك عندما يصبح الفرق بين القيمتين مقداراً صغيراً تم تحديده في البرنامج بقيمة (6-10). وعرض النتائج كان باستخدام برنامج Tecplot 360 .).

3- النتائج والمناقشة (Results and Discussion) شكل الجريان ومجال درجة الحرارة داخل مغلق ذو سطح سفلي ساخن بدرجة حرارة (350 كلفن) وسطح علوبي بارد بدرجة حرارة (300 كلفن) مع وبدون معرض مربع مركزي مع شروط حدية اديبالية تم دراستها من خلال ايجاد تاثير كل من عدد رالي (Ra)، زاوية ميل المغلف (θ)، وتأثير وجود المعرض الرابع. حيث تم دراسة تاثير هذه المتغيرات للحالة المستقرة على توزيع دالة الانسياب ودرجة الحرارة بالإضافة إلى عدد نسلت الكلي. في الدراسة العددية الحالية تم استخدام المדיات التالية للمتغيرات التي تم توضيحها في اعلاه بينما في هذه الدراسة فان عدد براندت اعتبار ثابت عند ($Pr = 0.781$) ورقم رالي يتراوح بين ($5 \times 10^4 \leq Ra \leq 10^5$) حيث استخدمت طريقة الفروق المحددة (Finite differences) المعتمدة على متسلسلة تايلر (Taylor series) في

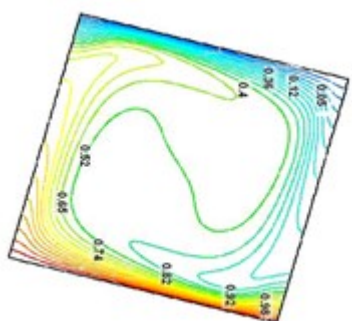


الشكل (4) مقارنة نتائج البحث الحالي للحالة بدون وجود معترض مع المصدر [3].

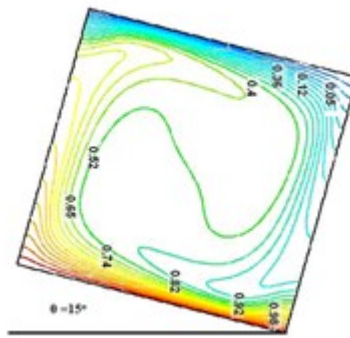
الشكل (5) يوضح تأثير زيادة زاوية الميلان θ من (0° إلى 90°) على درجة الحرارة الابعدية لغلاف مربع بدون معترض مركزي مربع عند ($Gr = 3 \times 10^5$), حيث نلاحظ زيادة تشكيل دوامات الحمل الحر مع زيادة زاوية الميلان وتكون في اقصاها عند الزاوية 60° درجة.



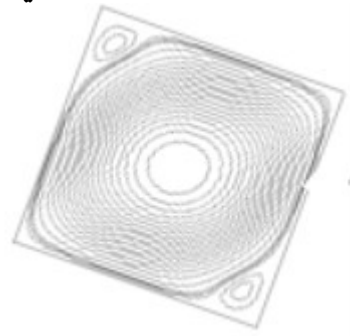
$\theta = 0^\circ$



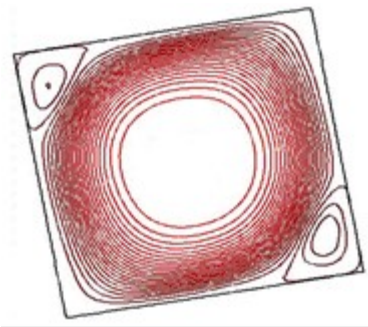
$\theta = 15^\circ$



درجات الحرارة البحث الحالي

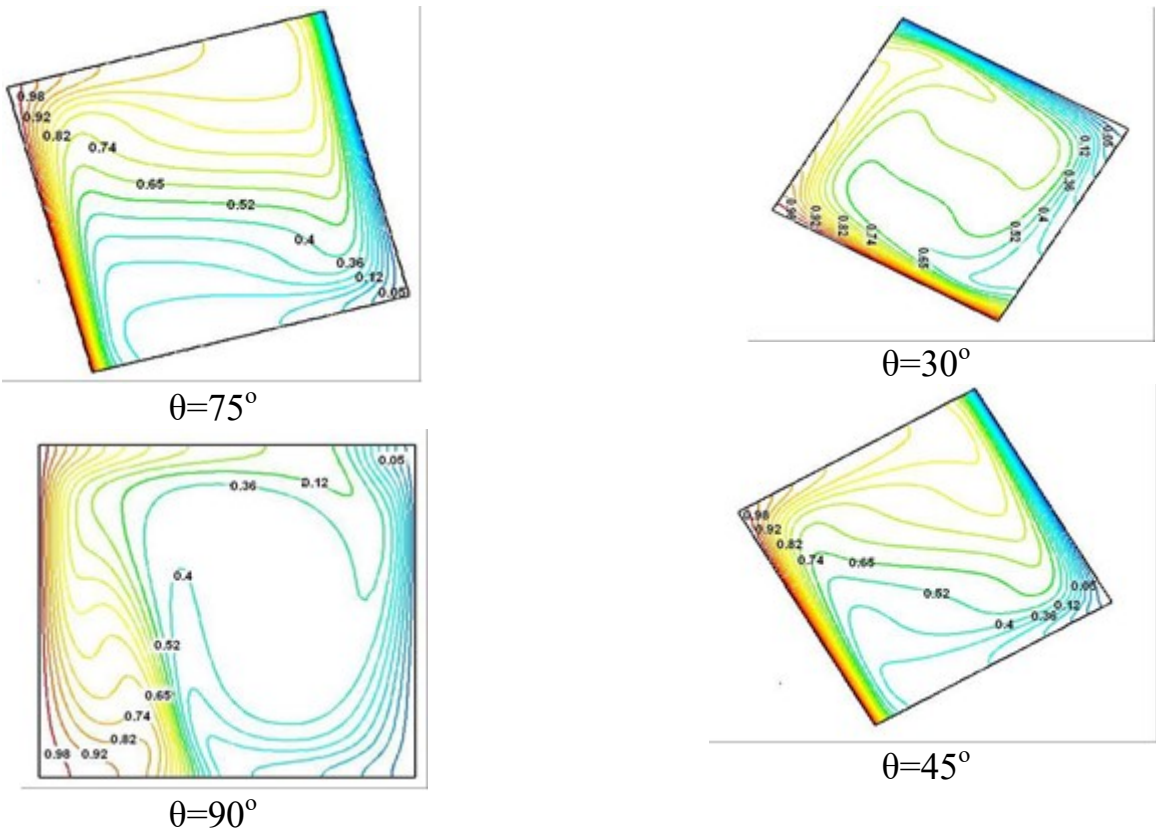


دالة الانسياب المصدر [3]



دالة الانسياب البحث الحالي
الشكل (3) مقارنة الخطوط الكنتورية دالة الانسياب ودرجة الحرارة لنتائج البحث.

اما الشكل (4) فيبيين نتائج المقارنة للتوزيع دالة الانسياب ودرجة الحرارة حيث يمكن ملاحظة التقارب الجيد بين النتائج مما يؤكد صحة الحل العددي المستخدم في البحث الحالي.

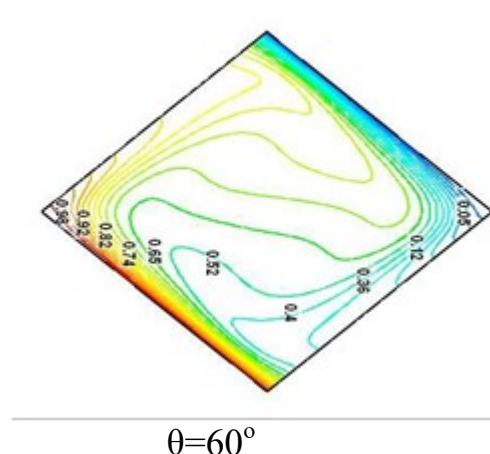


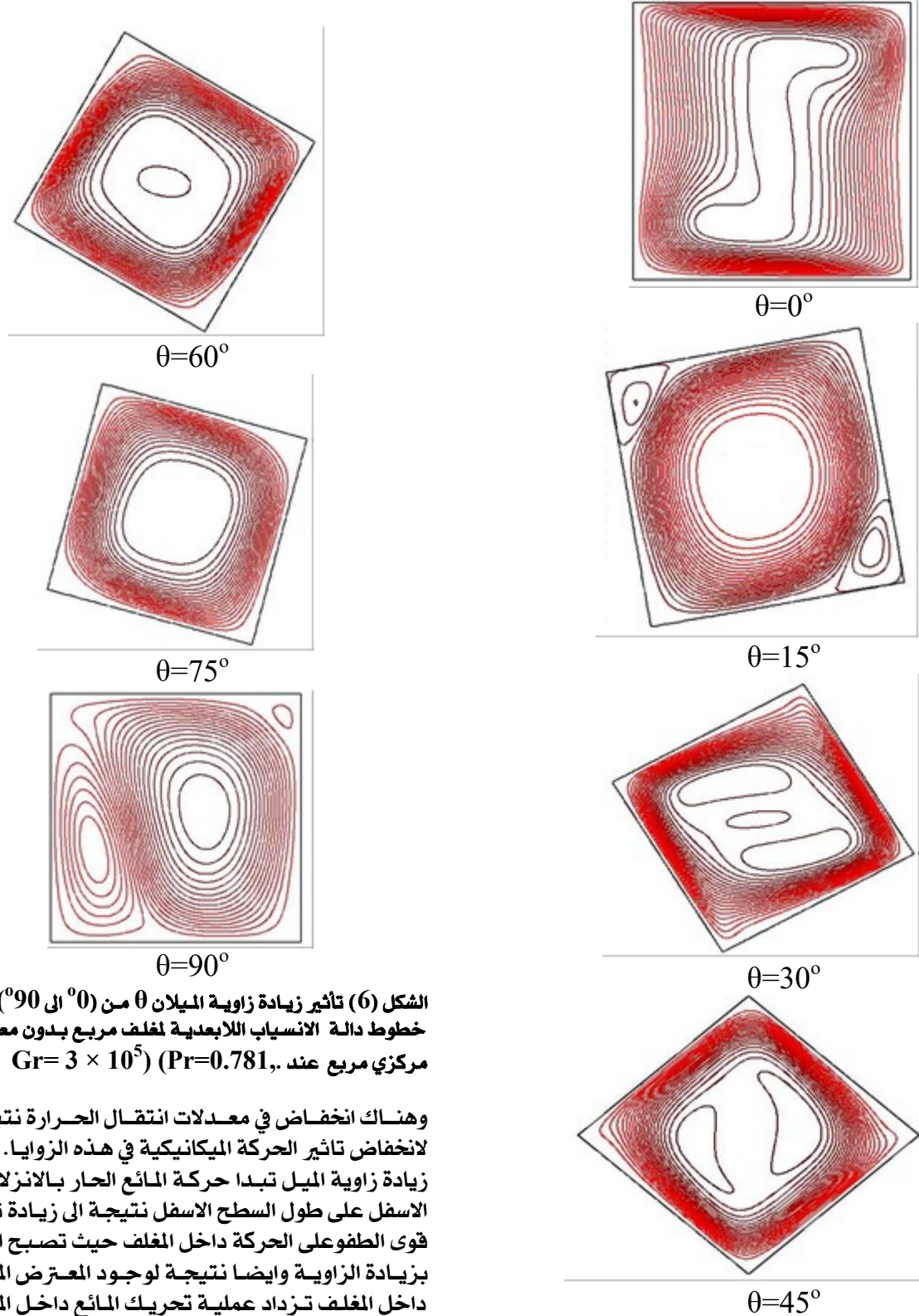
الشكل (5) تأثير زيادة زاوية الميلان θ من (0° إلى 90°) على درجة الحرارة الابعدية لمغلف مربع بدون معزض مركزي مربع عند. ($Pr=0.748$, $Gr=3 \times 10^5$)

الشكل (6) يعطي تأثير زيادة زاوية الميلان θ من (0° إلى 90°) على دالة الانسياب الابعدية لمغلف مربع بدون معزض مركزي مربع عند $Gr=3 \times 10^5$, $Pr=0.748$

حيث نلاحظ ان دالة الانسياب تبدا بتشكيل دوامات صغيرة عند زوايا المغلف المربع عند زيادة زاوية الميلان. اما بالنسبة لتأثير زاوية الميلان على فروقات درجات الحرارة فتم دراستها لكل حيز المغلف في

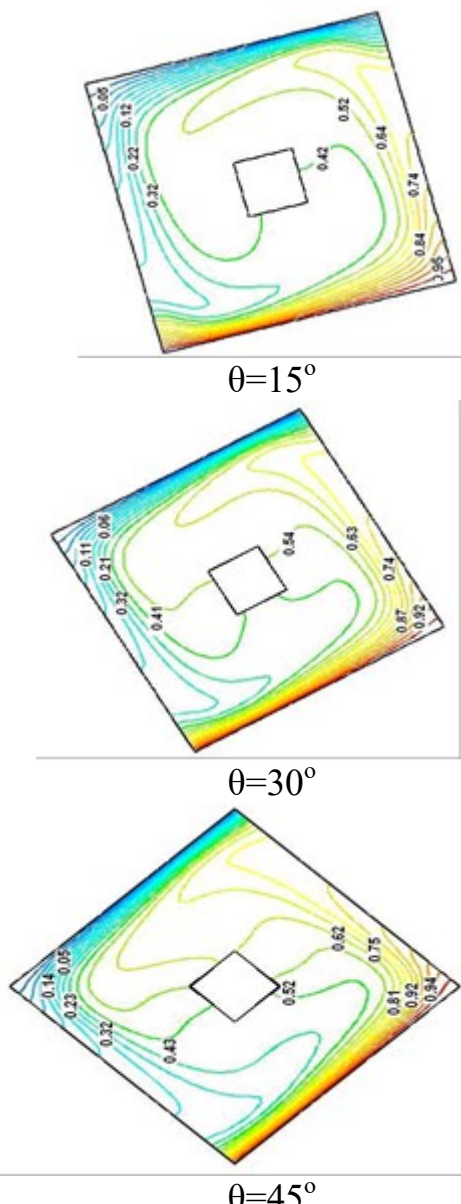
الشكل (4) للزوايا (0° إلى 90°) في الزاوية (0°) وتكون طبقات من المائع بدرجات حرارة مختلفة من السطح الاسفل وصعودا الى السطح العلوي.





الشكل (6) تأثير زيادة زاوية الميلان θ من (0° إلى 90°) على خطوط دالة الانسياب الابعدية لغلف مربع بدون معtron مركزى مربع عند $Gr = 3 \times 10^5$ ($Pr = 0.781$).

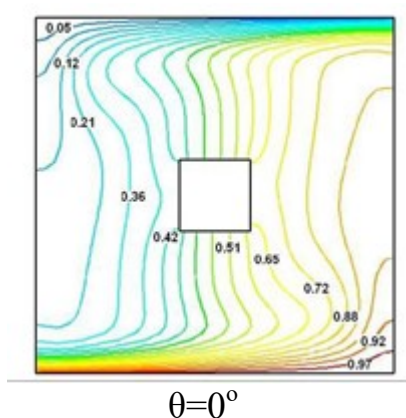
وهناك انخفاض في معدلات انتقال الحرارة نتيجة لانخفاض تأثير الحركة الميكانيكية في هذه الزوايا. عند زيادة زاوية الميل تبدأ حركة المائع العار بالانزلاق إلى الأسفل على طول السطح الأسفل نتيجة إلى زيادة تأثير قوى الطفو على الحركة داخل الغلف حيث تصبح أقوى بزيادة الزاوية وأيضاً نتيجة لوجود المعرض المربع داخل الغلف تزداد عملية تحريك المائع داخل الغلف



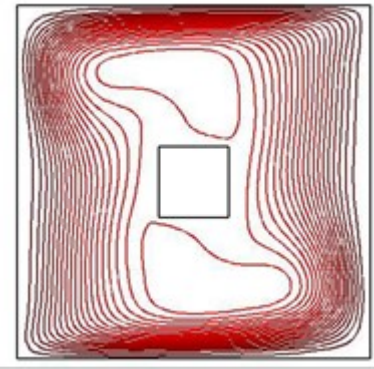
وزيادة الانتشارية الحراري وبذلك تزداد الفروقات بدرجات الحرارة حيث يتم نقل الطاقة بعيداً عن السطح السفلي الحار إلى مناطق أخرى داخل الملف.

وفي زاوية الميل من (0 إلى 15 درجة) كانت تعطي نتائج غير مستقرة أما الزوايا من (15 إلى 90 درجة) تكون نوعاً ما ذات نتائج مستقرة تقترباً وتكون أكثر معدل انتقال للحرارة . فنلاحظ أن للزوايا الأكبر من (60 درجة) ان الطبقات المتاخمة الحرارية للسطح الحار والبارد والائع المجاور للسطح الحار يسخن ويتصاعد بسبب قوة الطفو قبل ان يصل الى الزاوية القائمة للم ملف وينتهي بالانتشار بجوار السطح الاعلى. وبعد ذلك يبرد بواسطة السطح البارد ويصبح اثقل مما كان عليه وينحدر الى الاسفل ومن ثم الصعود لاماكن دورة كاملة لانحدار درجات الحرارة يبدأ ضعيفاً ومستقراً.

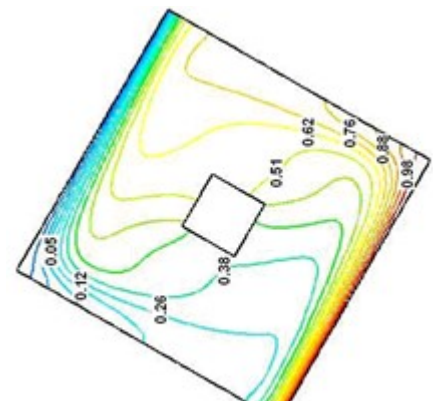
تم دراسة تأثير زاوية ميل الملف عن الأفق على درجات الحرارة اللاحبعة لم ملف مربع مع معرض مركزي مربع في الشكل (7) توزيع درجات الحرارة اللاحبعة مع المحور X الابعد للتجويف لزاوية الميلان θ من (0, 0, 90, 30 درجة) عند $Gr = 3 \times 10^5$, $Pr = 0.781$ حيث نلاحظ ان انحدار درجات الحرارة يكون أعلى ما يمكن عند السطح الساخن $X=0$ ثم يبدأ بالتنازل وصولاً إلى قرب السطح البارد $X=1$ وايضاً يتبيّن من الشكل انه كلما ازدادت زاوية الميل عن الأفق ازداد انحدار درجات الحرارة.



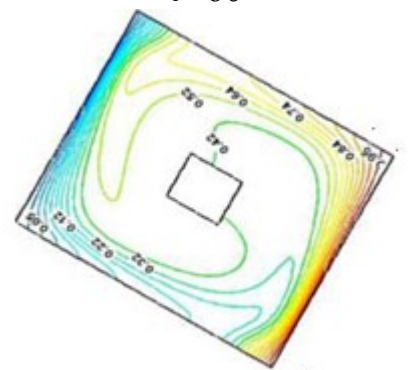
زاوية الميلان θ من 0 إلى 90 درجة على دالة الانسياب الابعدية لغلف مربع مع معرض مركزي مربع عند $Gr=3 \times 10^5$, $Pr=0.748$ الماء داخل الغلف. فنلاحظ ان الشكل العام لدالة الانسياب ودرجة الحرارة تشابه الحالة التقليدية للفجوات ذات الاسطح المختلفة درجات الحرارة والتي تميز بدوامة اولية كبيرة في الزاوية 0 عندما يكون التسخين من اسفل الغلف تتجزأ هذه الدوامة الكبيرة الى جزئين سفلي وعلوي من المعرض المركزي بفعل هذا المعرض مما يزيد من الانتشارية الحرارية حوله. اما عندما نقوم بزيادة الزاوية الى 15 درجة فنلاحظ انها تمثل باتجاه الزوايا المقابلة للمغلف بحسب صعود الماء الحار الى الاعلى ونزلاق الماء البارد الى الاسفل وتبدأ هاتين الدوامتين اللتان كانتا تحيطان بالمعرض المركزي بالانفصال والتلاشي لتكون دوامة واحدة مركبة في كل الحيز الداخلي للمغلف عند الزوايا 30, 45, 60, 45, 30 درجة. بالإضافة الى ذلك فان الدوامات الاصغر سوف تتشكل عند الزوايا 75 و 90 درجة للمغلف عند زيادة عدد الخطوط الكنتوريه اي عندما يقترب الغلف من الوضع العمودي للجدار الساخن. بينما تتشكل طبقة متاخمة اقل سمكا بالقرب من السطح الساخن العمودي وهذا يعزى الى زيادة الاسهام الذي تقدمه ميكانيكية الحرارة المنتقلة بالحمل الحر والمسبية الى توليد انحدار شديد في درجة الحرارة بالقرب من الجدار العمودي.



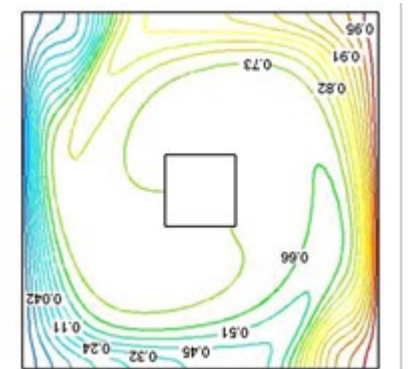
$\theta=0^\circ$



$\theta=60^\circ$



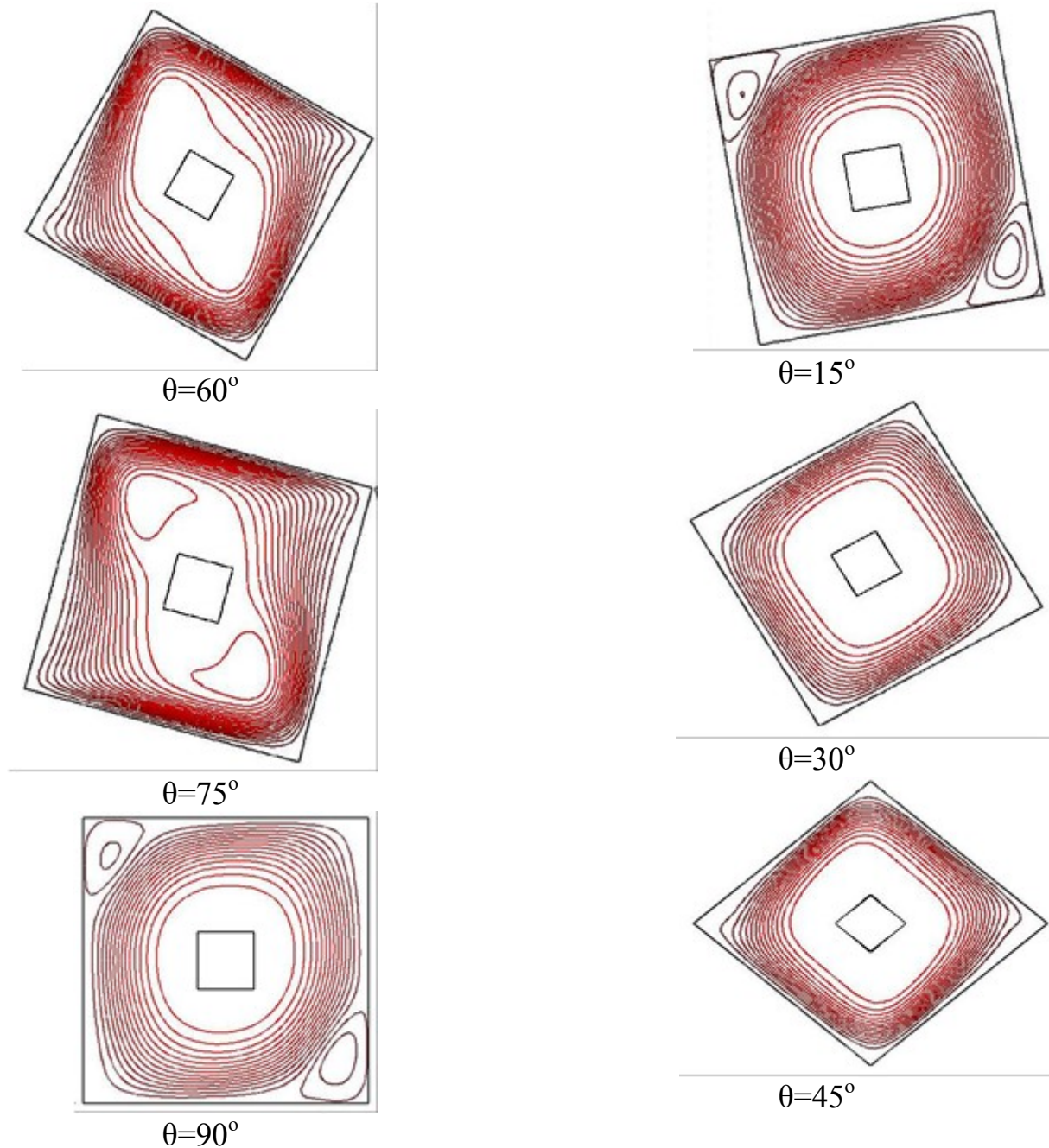
$\theta=75^\circ$



$\theta=90^\circ$

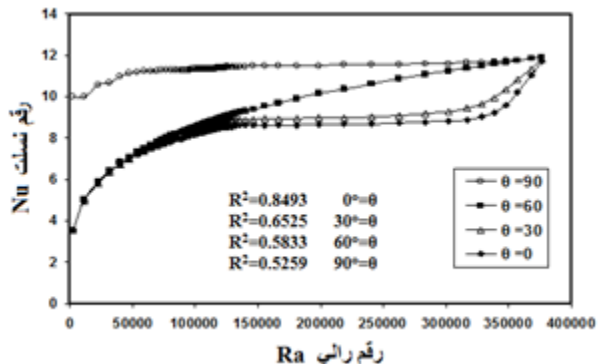
الشكل (7) تأثير زيادة زاوية الميلان θ من (0° الى 90°) على درجة الحرارة الابعدية لغلف مربع مع معرض مركزي مربع عند $Gr=3 \times 10^5$, $Pr=0.781$

ولدراسة حركة الماء وتأثير زاوية الميل على دالة الانسياب يمكن مراجعة الاشكال الخاصة بالخطوط الكنتورية لدالة الانسياب الشكل (8) نلاحظ تأثير زيادة



الشكل (8) تأثير زيادة زاوية الميلان θ من (0° إلى 90°) على خطوط دالة الانسياب الابعدية لغلف مربع مع معترض مركزي مربع عند ($Pr=0.781$), ($Gr=3 \times 10^5$)

واخيراً فان الشكل (11) يرسم العلاقة البعدية بين رقم نسلت Nu ورقم رالى Ra للتوجيف لزاوية الميلان θ من (0, 30, 60, 90)، كما نلاحظ بزيادة رقم رالى Ra يزداد رقم نسلت Nu.

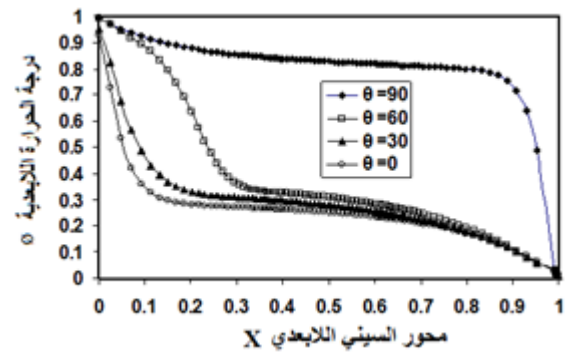


الشكل (11) العلاقة اللابعدية بين رقم نسلت Nu ورقم رالى Ra لمغلف لزوايا الميلان 0, 30°, 60°, 90°.

4- الاستنتاج (Conclusion)

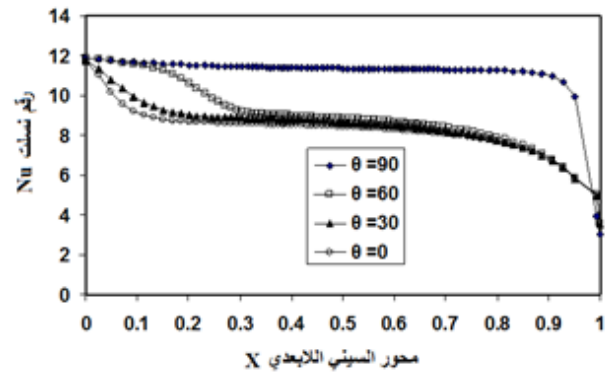
قدم البحث الحالي دراسة عددية لتأثير وجود معرض مربع مركزي داخل مغلف مربع ببنسبة باعية $A=1$ دراسة سبعة زوايا ميلان المغلف المربعة هي كالتالي (0°, 15°, 30°, 45°, 60°, 75°, 90°) على اندار درجات الحرارة وخطوط دالة الانسيبل وعدد نسلت لانتقال الحرارة بالحمل الحر. واظهرت النتائج النظرية انه عند زيادة زاوية الميل تبدا حركة المائع الحار نتيجة زيادة تاثير قوى الطفو على الحركة داخل المغلف حيث تصبح اقوى بزيادة الزاوية وايضاً نتيجة لوجود المعرض المربع داخل المغلف تزداد عملية تحريك المائع داخل المغلف وزيادة الانتشارية الحراري وبذلك تزداد الفروقات بدرجات الحرارة في الزاوية (0) عندما يكون التسخين من اسفل المغلف تتجزأ هذه الدوامة الكبيرة الى جزئين سفلي وعلوي من المعرض المركزي بفعل هذا المعرض مما يزيد من الانتشارية الحرارية وايضاً فان عدد نسلت يزداد بنسبة (8.2%) عند زيادة الزاوية من 0 الى 30 درجة ويزاد بنسبة (25%) عند زيادة زاوية ميل المغلف من 30 الى 90 درجة

لتوضيح توزيع درجات الحرارة مع المحور X تم رسم الشكل (9) حيث نلاحظ عند زيادة زاوية الميلان يزداد الفرق في درجات الحرارة اللابعدية.



الشكل (9) توزيع درجات الحرارة اللابعدية مع المحور X اللابعدي للمغلف ولزوايا الميلان 0, 30, 60, 90 عند $Gr = 3 \times 10^5, Pr = 0.781$.

اما الشكل (10) فيوضح توزيع رقم نسلت Nu مع المحور X اللابعدي للتوجيف لزاوية الميلان θ من (0, 30, 60, 90) درجة عند $Gr = 3 \times 10^5, Pr = 0.781$ نلاحظ ازدياد عدد نسلت الكلي كلما ازداد الميل للمغلف وايضاً بزيادة كبيرة نوعاً ما تحصل لقيمة عدد نسلت الكلي عند قيمة الزاوية تساوي (90 درجة) نتيجة لعملية انتقال الطاقة الكلي. مما تعكس اقصى قيمة لتدفق الحرارة الموضعى كما تمت توضيحه في الشكل.



الشكل (10) توزيع رقم نسلت Nu مع المحور X اللابعدي للمغلف لزوايا الميلان (0, 30, 60, 90) عند $Gr = 3 \times 10^5, Pr = 0.781$.

- International Journal for Numerical Methods in Fluids", Vol. 3, pp.249-264
6. Dias, T. J., and L. F. Milanez "Natural Convection in High Aspect Ratio Three-dimensional Enclosures with Uniform Heat Flux onto Heated Wall" Universidad Estadual de Campinas Faculdade de Engenharia Mecânica Departamento de Energia Campinas, Vol. 3 • No. 2 • December 2004 • pp. 96-99
 7. Duluc, M. C., Xin S., and Le Quéré, P., 2003, "Transient natural convection and conjugate transients around a line heat source", International Journal of Heat and Mass Transfer, Vol. 46, pp.341-354
 8. Eckert, E. R. G., and Carlson, W. D., 1986, "Natural Convection in an Air Layer Enclosed Between Two Vertical Plates with Different Temperatures", international Journal of Heat and Mass Transfer, Vol. 40, 143-153.
 9. Hart, J.E., 1971, "Stability of the Flow in a Differentially Heated Inclined Box", Journal of Fluid Mechanics, Vol.47, No.3, pp.547- 576
 10. Hsieh, S. S., and Yang, S. S. 1996, "Transient three-dimensional natural convection

5-المصادر :

1. Ahmed, G. A., and M. M. Yovanovichl, 1992," Numerical Study of Natural Convection from Discrete Heat Sources in a Vertical Square Enclosure" University of Waterloo, Canada Vol.6, No.1, JAN.-MARCH, pp.121-126
2. Ayo, S. A., 2006, "Transient free convection generated by a heat vertical plate in a rectangular cavity", department of mechanical engineering, federal university of technology Minna Nigeria AU. J. I., Vol. 10, No.1, pp 55-62.
3. Azwadi, C. S. and N. I. Nik Izual, 2008, "Musicale Simulation of Natural Convection in an Inclined Square Cavity", Department of Thermo-fluid Faculty of Mechanical Engineering University of Technology Malaysia, pp.164-169
4. Bachelor G.K. 1954, "heat transfer by free convection in a closed cavity between vertical boundaries at deferent temperatures", Journal of applied mathematics, Vol.12, pp.200-214
5. De, G. and V. Davis, 1983, "Natural convection of air in a square cavity: a bench mark numerical solution",

- 16.Rasoul and Prinos, 1997, "Natural Convection in an Inclined Enclosure", I. J. of Numerical Methods for Heat and Fluid Flow, Vol.7, No.5, pp. 438-478.
- 17.Refaï, G., 1983, "Numerical Study of Natural Convection Heat Transfer in Vertical and Inclined Enclosed Fluid Layers", Master Thesis, Department of Mechanical Engineering, University of Alexandria, Alexandria, Egypt. pp.75-82.
- 18.Miomir Raos, 2001,"Numerical Investigation of Laminar Natural Convection in Inclined Square Enclosures", Faculty of Occupational Safety, University of Nis, Serbia, Yugoslavia Series: Physics, Chemistry and Technology Vol. 2, No 3, pp. 149 – 157.
- 19.Miomir Raos and L. Nešić, 2001, "Vector and scalar variables laminar natural convection in 2D geometry arbitrary angle of inclination", Presented at the IMC, Niš, Vol. 80, pp.345-353
- 20.Wilkes, J. O., and Churchill, S. O., 1966, "the finite difference computation of natural convection in rectangular enclosures", ASME journal, vol. 12, No.1, pp.161-163
- in a rectangular enclosure", International Journal of Heat and Mass Transfer, Vol. 39, pp.13-26
- 11.Imberger, J., P.F. Hamblin, 1982, "Dynamics of Lakes, Reservoirs, and Cooling Ponds", Adv. Rev. Fluid Mech. Vol. 14, 153-187.
- 12.Ostrach, S., 1982, "Natural Convection Heat Transfer in Cavities and Cells", Proc.7th, Intern. Heat Transfer Conference, Vol. 1, pp. 365–379.
- 13.Ozoe, H., K. Yamamoto, H. Sayama and W.C. Stuart, 1974, "Natural Circulation in an Inclined rectangular Channel Heated on One Side and Cooled on the Opposing Side", International Journal of Heat and Mass Transfer, Vol.17, No.10, pp.1209-1217
- 14.Rachid Skouta, A. Skouta and M. Daguenet, 2008, "Numerical Study of the Transition toward Chaos of Two-Dimensional Natural Convection within in an Inclined Square Cavities", Phys., Vol. 2, no. 1, 37 – 50
- 15.Raos, M., 1999, "Laminar Natural Convection in Enclosures", M.Sc. Thesis, University of Nish, Faculty of Mechanical Engineering, Nis, pp.152-163

(Greek Symbol)

α	الانتشارية الحرارية (m^2s^{-1})
β	معامل التمدد الحجمي (K^{-1})
v	اللزوجة الكينماتية للمائع (m^2s^{-1})
\emptyset	درجة الحرارة الابعدية ($((T_h-T_c)/(T-T_c))$)
θ	زاوية ميلان المغلف عن الأفق, درجة
ρ	كتافة المائع (kgm^{-3})
ω	الدوامية
Ω	الدوامية الابعدية ($H^2\omega/v$)
ψ	دالة الانسياب
Ψ	دالة الانسياب الابعدية (v/ψ)

(Nomenclature)

A	النسبة الباعية W
f	معامل معتمد للمعادلة 12
g	التعجيل الأرضي (ms^{-2})
Gr _H	رقم كراشوف ($Gr_H=g\beta H_3(T_h-T_c)/v$)
H	الطول الجانبي للمغلف (m)
k	التوصيل الحراري للمائع ($Wm^{-1}K^{-1}$)
l,q,r,s	معاملات بالشكل العام للمعادلة 13
M	احداي ماس للجدار المفروض
N	احداي عمودي للجدار المفروض
Nu	عدد نسلت
p	الضغط (Nm^{-2})
P	الضغط الابعد
Pr	رقم براندل

الرموز السفلية Subscript

c	الجدار البارد
h	الجدار الساخن
Ra	رقم رالي
T	درجة الحرارة(K)
U,V	مركبات السرعة الابعدية على المحورين (x) و (y)
u,v	مركبات السرعة على المحورين (x) و (y) (ms^{-1})
W	عرض المغلف
X, Y	الإحداثيات الكارتيزية الابعدية
x, y	الإحداثيات الكارتيزية

Numerical Study of Angle of Inclination Effect on Natural Convection Heat Transfer in Tilted Square Enclosure with Concentrated Square Obstruction



Dr. Kadhum Audaa Jehhef
Department of Equipment and Machine
Institute of Technology
Middle Technical University
Email: kadhum.audaa@yahoo.com



Abstract:

The current study is conducted to analyze two dimensional incompressible natural convection heat transfer in tilted enclosure of aspect ratio of ($A=1$) with and without concentrated square obstruction. The cavity horizontal bottom wall is maintained at a hot uniform temperature at (350 K) higher than the top wall at (300 K) while the vertical walls were insulated and the cavity inclination varied with the angles of ($0^\circ, 15^\circ, 30^\circ, 45^\circ, 60^\circ, 75^\circ, 90^\circ$) with horizontal. The governing equations were write in stream-vorticity formulation, then changed from the differential form to the algebraic form by using finite difference method and then solved by Crank-Nicolson method, also body fitted coordinate system was used to change the equation from the Cartesian coordinates to the general coordinates. The validity of the numerical results used is ascertained by comparing with previously published results. The central obstruction enclosure and the angle of inclination effect on the flow structure and heat transfer characteristics are investigated in detail while the Prandtl number is considered equal to ($Pr = 0.781$) and Rayleigh number ($3.5 \times 10^5 \leq Ra \leq 104 \times 5$). The results showed that the average Nusselt number increases with an increase in both angle of inclination and Rayleigh number. Maximum heat transfer occurs when cavity at the angle 90° where the maximum gradient of the sliding the natural convection whirlpools. Finally, the Nu is increased by (8.2%) at angle of ($0^\circ, 15^\circ, 30^\circ$) and with present of (25%) at angle of (30° to 90°).

Key Word: Water treatment plant, Al-kut, Weighted Arithmetic, Turbidity